



UNIVERSITÀ  
DEGLI STUDI  
DI PADOVA

# **ANALISI MATEMATICA III**

**Lauree in Fisica e Astronomia – A.A. 2024/25**

**Corrado Marastoni**

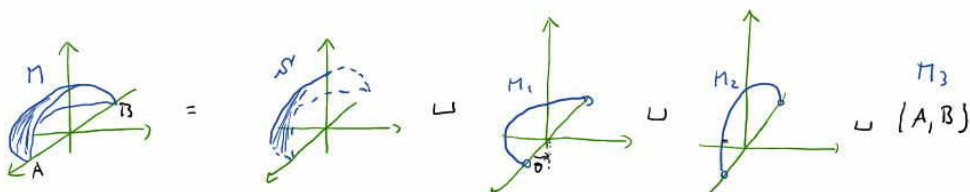
**Lezione di giovedì 17/10/2024**

Ex

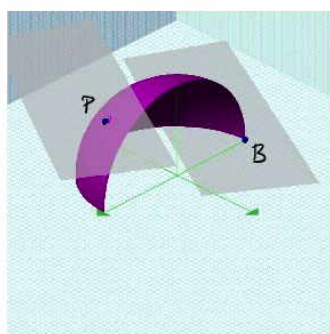
Calcolare gli estremi assoluti di  $f(x, y, z) = x\sqrt{3} - y + 2z$   
sul setore  $M$  di superficie sferica di centro  $(0, 0, 0)$ ,  
raggi  $R$  e con  $y \leq 0$  e  $z \geq 0$ .

Si tratta del quarto di superficie sferica dell'ellissezione già visto,  
con l'aggiunta dei punti di bordo: oltre che limitata, ora  $M$   
è anche chiusa (definita dall'equazione  $x^2 + y^2 + z^2 = R^2$  su le  
direzioni larghe  $y \leq 0$  e  $z \geq 0$ ), dunque compatta.

Converrà decomporre  $M$  così:

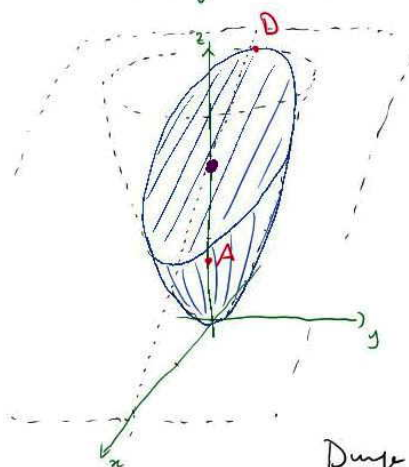


- . Su  $S^1$  (superficie regolare, quindi dim. 2) si può trovare  $P(\frac{\sqrt{2}}{2}R, -\frac{\sqrt{2}}{2}R, \frac{\sqrt{2}}{2}R)$
- .  $M_1: \gamma(\theta) = (R \cos \theta, R \sin \theta, 0)$  con  $-\pi < \theta < 0$   
 $F(\theta) := f(\gamma(\theta)) = R(\sqrt{3} \cos \theta - \sin \theta)$   
 $F'(\theta) := -R(\sqrt{3} \sin \theta + \cos \theta) = 0 \Leftrightarrow \tan \theta = -\sqrt{3}/\sqrt{3} \Leftrightarrow \theta = -\pi/6$   
 $\rightarrow Q(\frac{\sqrt{3}}{2}R, -\frac{1}{2}R, 0) = \gamma(-\pi/6)$
- .  $M_2$ : Leggi  $M_2 = \begin{cases} y=0 \\ x^2+z^2=R^2 \\ z>0 \end{cases}$   
 $\left\{ \begin{array}{l} \text{rk} \begin{pmatrix} \sqrt{3} & -1 & 2 \\ 0 & 1 & 0 \\ 2x & 0 & +2z \end{array} < 3 \quad (\text{det} = 0) \\ x^2+z^2=R^2 \\ z>0 \end{array} \right. \quad \left\{ \begin{array}{l} z=\sqrt{3}x \\ x^2+z^2=R^2 \\ y=0 \\ z>0 \end{array} \right. \quad \left\{ \begin{array}{l} x=\frac{\sqrt{3}}{2}z \\ 3x^2+z^2=R^2 \\ y=0 \\ z>0 \end{array} \right.$   
 $\frac{7}{4}z^2=R^2 \Rightarrow z=\frac{4}{7}R \Rightarrow z=\pm\frac{2}{7}R = \cancel{\pm\frac{2\sqrt{7}}{7}R} \Rightarrow x=\frac{\sqrt{21}}{7}R, y=0$   
 $T_{\text{punto}} E\left(\frac{\sqrt{21}}{7}R, 0, \frac{2\sqrt{7}}{7}R\right) \quad (\text{controllare i anti-...})$
- .  $M_3 = \{A, B\}$  punti sat.  $A(R, 0, 0)$ ,  $B(-R, 0, 0)$  ( $d' - A \sim$ )  
E quindi  $f(P) = \cancel{(2R\sqrt{2})}$ ,  $f(A) = R\sqrt{3}$ ,  $f(B) = \cancel{-R\sqrt{3}}$ ,  $f(Q) = 2R$ ,  $f(E) = R\sqrt{7}$   
 $\max \sim 2\cdot R$        $\min \sim -1,7\cdot R$



... come previsto.

Ex Dimostrare che  $K = \{(x, y, z) \in \mathbb{R}^3 : x^2 + y^2 \leq z \leq 2 - x\}$  è un  
complesso di  $\mathbb{R}^3$ , e calcolare gli estremi assoluti di  $f(x, y, z) =$   
 $x^2 + 2y^2 + z^2 - z$  su  $K$ .



$K$  è chiuso perché è definito  
in  $\mathbb{R}^3$  da diseguaglianze (≤)  
di funzioni continue.

Inoltre  $K$  è limitato perché  
 $x^2 + y^2 \leq z \leq 2 - x \Rightarrow x^2 + y^2 \leq 2 - x$  cioè  
 $x^2 + y^2 + x - 2 \leq 0$  (disegno piano  $(x, y)$ )  
 $(x + \frac{1}{2})^2 + y^2 \leq \frac{9}{4}$  cioè  $(-\frac{3}{2}, 0)$  negli  $\frac{3}{2}$   
dove  $x$  e  $y$  sono limitati; ed essendo  
 $x^2 + y^2 \leq z \leq 2 - x$ , lo è anche  $z$ .

Dunque  $K$  è compatto.

Per le ricerca degli estremi assoluti di  $f(x, y, z) = x^2 + 2y^2 + z^2 - z$  su  $K$   
conviene decomporre  $K$  come segue:

$$K = K_1 \cup K_2 \cup K_3 \cup K_4$$

• Su  $K_1$  (cioè  $K$  senza bordo, aperto di  $\mathbb{R}^3$ ): metodi di An. II

$$\nabla f = (2x, 4y, 2z-1) = (0, 0, 0) \Leftrightarrow A(0, 0, \frac{1}{2})$$

• Su  $K_2$  (porzione di superficie di parabolide su  $z < 2-x$ )

$$\text{Lavoro } g(x, y, z) = x^2 + y^2 - z = 0 \quad (z < 2-x)$$

$$\begin{cases} \text{rk} \begin{pmatrix} 2x & 4y & 2z-1 \\ 2x & 2y & -1 \end{pmatrix} < 2 \\ x^2 + y^2 = z, \quad (z < 2-x) \end{cases} \quad \begin{cases} -2xy = 0 \\ -2x - 2y(2z-1) = 0 \\ -4y - 2y(2z-1) = 0 \\ x^2 + y^2 = z \quad (z < 2-x) \end{cases}$$

$$\begin{cases} xy = 0 \\ 2x(1+2z-1) = 0 \\ 2y(2z-1+2) = 0 \\ x^2 + y^2 = z \quad (z < 2-x) \end{cases} \quad \begin{cases} xy = 0 \\ xz = 0 \\ y(2z+1) = 0 \\ x^2 + y^2 = z \quad (z < 2-x) \end{cases}$$

$$xy = 0 \quad \begin{cases} x = 0 \\ y = 0 \end{cases} \quad \begin{cases} 0 = 0 \\ y(2z+1) = 0 \\ y^2 = z \quad (z < 2) \end{cases} \quad O(0, 0, 0)$$

$$y = 0 \quad \begin{cases} xz = 0 \\ 0 = 0 \\ x^2 = z \quad (z < 2-x) \end{cases} \quad O(0, 0, 0)$$

Se non K<sub>2</sub> è possibile che  $\gamma(x,y) = (x,y, x^2+y^2)$  con  $(x,y) \in D$   
 di cui abbia  $x < 0$  e  $y < 0$   
 $F(x,y) := f(\gamma(x,y)) = \cancel{x^2+2y^2} + (x^2+y^2)^2 - (\cancel{x^2+y^2})$   
 $= y^2 + (x^2+y^2)^2$   
 $\nabla F = (2x(x^2+y^2), 2y+2 \cdot 2y(x^2+y^2)) = (0,0) \Leftrightarrow x=0, y=0 \Rightarrow z=0$   
 e intorno a  $O(0,0,0)$

- K<sub>3</sub> (porzione di piano  $z=2-x$  con  $z > x^2+y^2$ )

Possiamo  $\gamma(x,y) = (x,y, 2-x)$  con  $(x,y) \in D$

$$F(x,y) := f(\gamma(x,y)) = x^2+2y^2 + (2-x)^2 - (2-x) = 2x^2+2y^2 - 3x + 2$$

$$\nabla F = (4x-3, 4y) = (0,0) \Leftrightarrow x=\frac{3}{4}, y=0 \rightarrow B\left(\frac{3}{4}, 0, \frac{5}{4}\right)$$

. K<sub>4</sub> ellissi da  $\begin{cases} z = x^2+y^2 \\ z = 2-x \end{cases}$

Leyce:  $\left\{ \begin{array}{l} \text{rk} \begin{pmatrix} 2x & 4y & 2z-1 \\ 2x & 2y & -1 \\ z & 0 & 1 \end{pmatrix} < 3 \\ z = x^2+y^2 \\ z = 2-x \end{array} \right. \text{det} = 0$

$$\Rightarrow \dots \rightarrow C(1,0,1), D(-2,0,4)$$

Esempio  $f(A) = -\frac{1}{4}$ ,  $f(O) = 0$ ,  $f(B) = \frac{7}{8}$ ,  $f(C) = +1$ ,  $f(D) = 1\frac{1}{4}$

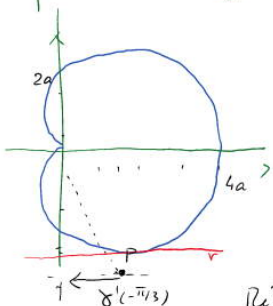
il max assoluto è 16 (assol. in D), e il min è  $-\frac{1}{4}$  (assol. in A).

Dati risultati sono geometricamente coerenti, poiché gli insiemi di livelli di  $f$  sono degli ellissoidi centrati in A con vettori paralleli agli assi coordinati.

RISOLUZIONE DI ALCUNI ESEMPI  
NON SVOLTI A VERIFICA

Verificare se gli insiemini indicati, definiti in vari modi (parametrici, grafici, vincoli) danno luogo a varietà. Calcolare poi le spaziate tangenti al fine nei punti indicati, probabilmente in più modi.

(11)  $\rho(\theta) = 2a(1 + \cos\theta)$ ,  $P$  = punto con  $\theta = -\frac{\pi}{3}$   
(quara curva piana in forma polare è detta CARDIOIDE,  
provare a disegnarla e a trovarne una forma cartesiana)



$$\gamma(\theta) = (\rho(\theta) \cos\theta, \rho(\theta) \sin\theta), \quad \rho(-\frac{\pi}{3}) = 3a$$

$$P = \gamma(-\frac{\pi}{3}) = (\frac{3a}{2}, -\frac{3\sqrt{3}a}{2})$$

$$\gamma'(\theta) = (\rho' \cos\theta - \rho \sin\theta, \rho' \sin\theta + \rho \cos\theta)$$

$$\rho'(\theta) = -2a \sin\theta, \quad \rho'(-\frac{\pi}{3}) = a\sqrt{3}$$

$$\gamma'(-\frac{\pi}{3}) = (-a\sqrt{3}, 0)$$

$$\text{Retta tangente } r = \{P + \lambda \gamma'(-\frac{\pi}{3}) : \lambda \in \mathbb{R}\}$$

$$r = \left\{ \left( \frac{3a}{2}, -\frac{3\sqrt{3}a}{2} \right) + \lambda (-a\sqrt{3}, 0) : \lambda \in \mathbb{R} \right\}, \text{ ovvero } y = -\frac{3\sqrt{3}}{2}x.$$

Come grafico:  $\gamma'(-\frac{\pi}{3}) = (-a\sqrt{3}, 0) \Rightarrow$  formulari  $\theta = \theta(x)$   
e dunque  $y = y(x) = y(\theta(x)) = \rho(\theta(x)) \cdot \sin\theta(x)$ , su

$$y = -\frac{3\sqrt{3}}{2}x + \frac{0}{-a\sqrt{3}}(x - \frac{3a}{2}) + \theta_{\frac{3a}{2}}(x - \frac{3a}{2})$$

... retta tangente

$$\text{ovvero } y = -\frac{3\sqrt{3}}{2}x + \dots$$

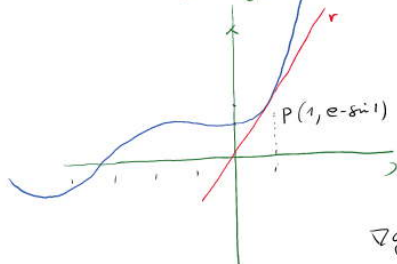
Eseguire i calcoli per vedere che  $y = y(x)$ ; altrettanto

$$\text{da } \rho = 2a(1 + \cos\theta) \text{ si ricava } \rho^2 = 2a\rho(1 + \cos\theta)$$

$$\text{ovvero } x^2 + y^2 = 2a(\sqrt{x^2 + y^2} + x), \text{ da cui}$$

$$g(x, y) = x^2 + y^2 - 2a(\sqrt{x^2 + y^2} + x) = 0.$$

(12) Grafici in  $\mathbb{R}^2$ :  $y = e^x - \sin x$  in P punto su  $x=1$ ,  
 $x = y - \log(y^2+1)$  in Q punto su  $y=2$ . (disegnare!)



$$r: y = e - \sin 1 + (e - \cos 1)(x - 1)$$

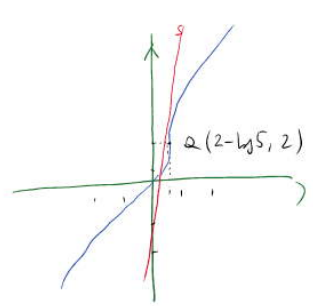
Come curva cartesiana:

$$g(x, y) = y - e^x + \sin x = 0$$

$$\nabla g = (\cos x - e^x, 1)$$

$$\nabla g(P) = (\cos 1 - e, 1)$$

$$\nabla g(P) \cdot (x-1, y - (e - \sin 1)) = 0 \text{ dà anche } r$$



$$x' = 1 - \frac{2y}{y^2+1} \quad x(2) = 2 - \log 5 \quad x'(2) = \frac{1}{5}$$

$$s: x = 2 - \log 5 + \frac{1}{5}(y - 2)$$

Come parametrica:

$$\gamma(y) = (y - \log(y^2+1), y)$$

$$\gamma'(y) = \left(1 - \frac{2y}{y^2+1}, 1\right) \quad \gamma'(2) = \left(\frac{1}{5}, 1\right)$$

$$S = \left\{Q + \lambda \gamma'(2) : \lambda \in \mathbb{R}\right\} = \left\{(2 - \log 5 + \frac{1}{5}\lambda, 2 + \lambda)\right\}$$

che dà la stessa retta da prima.

(13)  $M = \{(x, y) : e^{xy} + x + 2y = 3\}$ , P(0, 1)

La curva è quella porpora nella figura, e le rette tangenti a P sono gialle.

$$g(x, y) = e^{xy} + x + 2y = 3$$

$$\nabla g = (ye^{xy} + 1, xe^{xy} + 2)$$

$$\nabla g(P) = (2, 2)$$

$$\text{Retta g: } \nabla g(P) \cdot (x-0, y-1) = 0$$

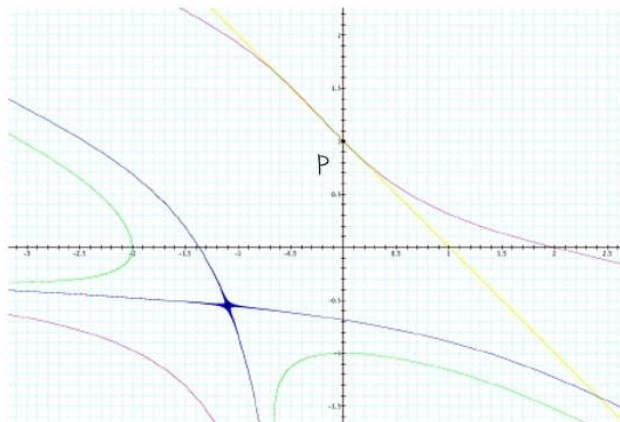
$$\text{ovvero } x+y=1$$

Cose grafico:

$$y = y(x) = 1 + \left(-\frac{2}{x}\right)(x-0) + \dots$$

ovvero

$$y = 1 - x + \dots$$



(19) Studiare gli estremi di  $f(x, y) = x^2 + y^2 - 2x$   
 sul grafico  $y = \sqrt{x+1}$  e sul tratto di spirale  
 d'Archimede  $g(\theta) = \theta$  con  $0 < \theta < 2\pi$ .

Quale è il significato geometrico dei risultati?

d'Archimede  $f(\theta) = \theta$  con  $0 < \theta < \pi$ .  
Quale è il significato geometrico dei risultati?

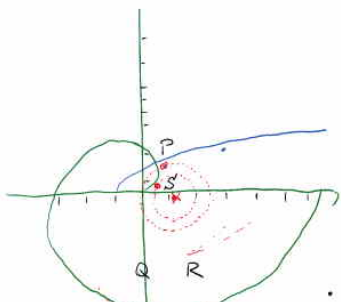


Grafico  $y = \sqrt{x+1}$  param. da  $\gamma(x) = (x, \sqrt{x+1})$   
con  $x \geq -1$ .

$$F(x) := f(x, \sqrt{x+1}) = x^2 + (x+1) - 2x = x^2 - x + 1$$

$$F'(x) = 2x - 1 = 0 \text{ per } x = \frac{1}{2} ; F''(x) > 0 \text{ per } x > \frac{1}{2}$$

$x = \frac{1}{2}$  è di minimo assoluto per  $F(x)$

dunque  $P\left(\frac{1}{2}, \sqrt{\frac{3}{2}}\right)$  è di minimo ass. per  $f$  sul graf.

Spirale  $\rho = \theta$  param. da  $\gamma(\theta) = (\theta \cos \theta, \theta \sin \theta)$ .

$$F(\theta) = f(\theta \cos \theta, \theta \sin \theta) = \theta^2 - 2\theta \cos \theta$$

$$F'(\theta) = 2\theta - 2\cos \theta + 2\theta \sin \theta = 2(\theta(1+\sin \theta) - \cos \theta).$$

Vale  $F'(\theta) = 0$  quando  $\theta = 3\pi/2$  oppure  $\theta = \frac{\cos \theta}{1+\sin \theta}$  che per congruo

grafico si verifica per  $\theta = \theta_0 \sim 0,5$  e  $\theta = \theta_1 \sim 5,1$ .

(Per  $\theta = \frac{3\pi}{2}$  si ha il punto Q, e per  $\theta = \theta_0, \theta_1$  i punti S e R)

$$\text{Vale poi } F'(\theta) > 0 \Leftrightarrow \theta > \frac{\cos \theta}{1+\sin \theta} : \quad \begin{array}{|c|c|c|c|c|c|} \hline & & \theta_0 & 3\pi/2 & \theta_1 & 2\pi \\ \hline & - & + & - & + & - \\ \hline F' & \nearrow & \searrow & \nearrow & \searrow & \nearrow \\ \hline & \min & \max & \min & \max & \min \\ \hline \end{array}$$

Dunque Q è di max locale

mentre R, S sono di min. locale.

Le curve di livelli di  $f(x,y) = x^2 + y^2 - 2x$  sono le circonference  
di centro  $(1,0)$ , dunque i risultati evidenziano i punti di  
max/min distanza locale (globali?) delle curve da  $(1,0)$ .

(20) Quali sono i punti del grafico  $y = x^2 - 2(z-1)^2$   
più vicini all'origine?

Evvole a trovare i punti di minimo assoluto delle  
funzioni  $f(x,y,z) = x^2 + y^2 + z^2$  sul grafico  $y = x^2 - 2(z-1)^2$ .

$$F(x,z) := f(x, x^2 - 2(z-1)^2, z) = x^2 + (x^2 - 2(z-1)^2) + z^2$$

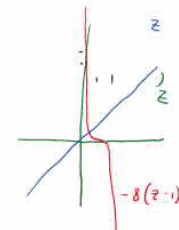
$$\nabla F = (2x + 2 \cdot 2x \cdot (\dots), 2z - 2 \cdot 4(z-1) \cdot (\dots)) =$$

$$= 2(x + 2x(\dots), z - 4(z-1)(\dots)) \quad \text{ove } (\dots) = (x^2 + 2(z-1)^2)$$

$$\text{Si ha } \nabla F = (0,0) \Leftrightarrow \begin{cases} x + 2(\dots) = 0 \\ z - 4(z-1)(\dots) = 0 \end{cases}$$

$$\Rightarrow x = 0 \Rightarrow z - 4(z-1)(-2(z-1)^2) = 0 \Rightarrow z = -8(z-1)^3 \Rightarrow z = z_0 \sim 0,6$$

$$\Rightarrow (\dots) = -\frac{1}{2} \Rightarrow z + 2(z-1) = 0 \Rightarrow z = \frac{2}{3} \Rightarrow x^2 - 2/z = -\frac{1}{2} \Rightarrow x^2 = -\frac{5}{18} \text{ No!}$$



Troviamo dunque un unico punto sfiorante per  $f$  sul grafico,  
ovvero  $P(0, -2(z_0-1)^2, z_0)$ . Vediamo la natura.

$$H_F(x,z) = 2 \begin{pmatrix} 1+6x^2-4(z-1)^2 & -8 \times (z-1) \\ -8 \times (z-1) & 1-4x^2+24(z-1)^2 \end{pmatrix} \sim$$

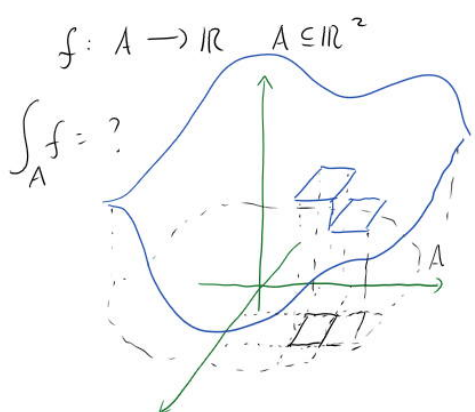
$$H_F(x, z) = 2 \begin{pmatrix} -8(z-1) & 1-4x^2+24(z-1)^2 \\ 1-4(z-1)^2 & 0 \end{pmatrix} \rightarrow$$

$$H_F(0, z_0) = \begin{pmatrix} 1-4(z_0-1)^2 & 0 \\ 0 & 1+24(z_0-1)^2 \end{pmatrix} \text{ def. positiva}$$

$\Rightarrow$  come pensi, si tratta di un punto di minimo locale  
(in questo caso anche assoluto).

---

## INTEGRAZIONE MULTIPLO



S'ipotizza (anzi, si può e si fa!)  
costanti una tecnica di integrale  
alle Riemann anche in più variabili,  
nella quale si fanno considerazioni fatti  
per una variabile (somme inferiori e  
superiori, integrabilità di  $f$  qualunque  
che sia, convergenza a uno stesso valore...)

Fatto questo, potremmo dire che  $A \subseteq \mathbb{R}^n$  è ESENTEVAMENTE  
misurabile (o MISURABILE ALA PEAU-RIEMANN) quando le sue  
funzioni caratteristiche  $\chi_A: \mathbb{R}^n \rightarrow \mathbb{R}$  sono Riemann-integrabili.  
(si vede che  $\chi_A(x) = \begin{cases} 1 & x \in A \\ 0 & \text{altro} \end{cases}$ )

Tuttavia queste integrazioni multidimensionali di Riemann creano  
ancora i "problemi" già presenti in una variabile:

- le funzioni R-integrabili sono "relativamente poche":

quelle che hanno o tutt' al più, con un numero "ragionevole" di irrazionali). Ad esempio: le funzioni di Dirichlet

$$\chi_{\mathbb{Q} \cap [0,1]} : \mathbb{R} \rightarrow \mathbb{R}, \quad x \mapsto \begin{cases} 1 & \text{se } x \in \mathbb{Q} \cap [0,1] \\ 0 & \text{altrimenti} \end{cases} \quad \text{non è R-int.}$$

- l'integrale di Riemann non è molto compatibile col limite  
nel senso seguente: se una successione  $f_n$  di funzioni integrabili converge allora alla debolezza (ad es. punto per punto "quasi ovunque") a una funzione  $f$ , vorremmo che anch'  $f$  fosse integrabile e che  
 $\int f = \lim \int f_n$ . Ma quest'ultimo non accade sempre.

$\square$  Sic.  $g: \mathbb{N} \rightarrow \mathbb{Q} \cap [0,1]$  una qualsiasi biiezione.

Definiamo  $f_n: \mathbb{R} \rightarrow \mathbb{R}$ :  $f_n(x) = \begin{cases} 1 & \text{se } x = g_m \text{ } m \leq n \\ 0 & \text{altrimenti} \end{cases}$

Chiediamo  $\int_{\mathbb{R}} f_n$  esiste e vale 0 (alla Riemann):  
infatti  $f_n$  è nulla tranne che su un insieme finito di punti)

D'altra parte  $\lim f_n = \chi_{\mathbb{Q} \cap [0,1]}$ , che non è R-integrabile.

- Ulteriore problema: le costuzioni di Riemann è molto legata a  $\mathbb{R}^n$ , ovvero riguarda solo funzioni su domini  $\mathbb{R}^n$ .

Per ovviare (in parte) a questi problemi si introduce una teoria dell'integrazione molto più flessibile, dovuta a HENRI LEBESGUE.

I problemi evidenziati sopra sono in buone parti, ad esempio:

- $\chi_{\mathbb{Q} \cap [0,1]}$  diventa integrabile in integrale nullo.

Così significa che l'insieme di Dirichlet  $\mathbb{Q} \cap [0,1]$  diventa MISURABILE in questa nuova teoria (LEBESGUE-MISURABILE)  
e misura nulla.

Anzi: in questa nuova teoria, tutti gli insiemi finiti o addirittura numerabili di  $\mathbb{R}^n$  hanno L-misura nulla (ovvero, sono da zero, sono TMISURABILI).

- L'integrale di Lebesgue funziona molto meglio col limite

(vedere le note); ad esempio la funzione prima su ogni parallele (e in modo analogo...) è  $\chi_{\mathbb{Q} \cap [0,1]}$  e quindi è zero da cui  $\int f_n = 0 = \int \chi_{\mathbb{Q} \cap [0,1]}$ .

- Infine, l'insieme di Lebesgue è una misura in cui  $\mathbb{R}^n$  non è nulla: si può sviluppare per funzioni con dominio un qualsiasi insieme  $X$  dato da una misura.
- 

Potremo dunque dire una MISURA su un insieme  $X$ .

- Sia  $\mathcal{M} \subseteq \mathcal{P}(X)$  una collezione di sottosettemi di  $X$  che contenga  $\emptyset$ , sia  $X$  e che sia stabile per complementi e unioni numerabili (da qui si dimostra che altre c'è stabilisce anche per l'intersezione numerabile, per unione intersezione finita e anche per differenza).  $\mathcal{M}$  si dirà  **$\sigma$ -ALGEBRA** di parti di  $X$  (le ~~parti~~ si rendono quelle delle Topologie!)
- $\mu: \mathcal{M} \rightarrow [0, +\infty]$  si dice funzione non identicamente uguale a  $+\infty$  e che sia numerabilmente additiva, ovvero se  $(A_n)_{n \in \mathbb{N}}$  è una famiglia di elementi di  $\mathcal{M}$  a due a due disgiunti, vale che  $\mu(\bigcup_{n \in \mathbb{N}} A_n) = \sum_{n \in \mathbb{N}} \mu(A_n)$ .

Una tale  $\mu$  si dirà **MISURA** su  $X$ , e  $\mathcal{M}$  le famiglie delle misure  **$\mu$ -misurabili** in  $X$ .

Esempio (tra le varie):  $\mu(\phi)$

- $\mu(\phi) = 0$ , perché  $\mu(\phi \cup \phi) = \mu(\phi) + \mu(\phi)$ , e poiché per i dottoni (ne parla tra un attimo)  $\mu(\phi) < +\infty$ , ciò implica che  $\mu(\phi) = 0$  ( ~~$\mu(\phi) = \mu(\phi) + \mu(\phi) \Rightarrow \mu(\phi) = 0$~~ ).

- Isotonia: se  $A, B \in \mathcal{M}$  e  $A \subseteq B \Rightarrow \mu(A) \leq \mu(B)$ .  
Infatti  $B = A \cup (B \setminus A) \Rightarrow \mu(B) = \mu(A) + \mu(B \setminus A) \geq \mu(A)$ .

Ex. Sia  $X$  insieme qualunque.

- $\mathcal{M} = \mathcal{P}(X)$ ,  $\mu \equiv 0$
- $\mathcal{M} = \mathcal{P}(X)$ ,  $A \subseteq X$ ,  $\mu(A) = \begin{cases} \text{n.r. di elem. di } A & (\text{misura di lunghezza}) \\ = +\infty \text{ se } A \text{ è infinito} \end{cases}$
- Misura concreta in un p.u. di  $X$ .  
Sia  $x_0 \in X$ . Se  $\mathcal{M} = \mathcal{P}(X)$ : se  $A \subseteq X$ , definisce  

$$\mu_{x_0}(A) = \begin{cases} 1 & \text{se } x_0 \in A \\ 0 & \text{se } x_0 \notin A \end{cases}$$

Nel CASO DI  $X = \mathbb{R}^n$  vorremo costruire una misura:

- che misuri quanti insiemi misurabili possibili di  $\mathbb{R}^n$ ;
- sui pluri-intervalli  $[a_1, b_1] \times \dots \times [a_n, b_n]$   
vou' da tale misura valga il volume n-dm. del pluri-intervalli:  $(b_1 - a_1) \cdot \dots \cdot (b_n - a_n)$ .
- Invarianza per isometrie: la misura di  $A \subseteq \mathbb{R}^n$   
non dovrebbe cambiare se ad  $A$  si applica un'isometria  
di  $\mathbb{R}^n$ , ovvero  $\mathbb{R}^n \rightarrow \mathbb{R}^n$  che conserva le distanze  
(es: traslazioni per un vettore fisso; più in generale,  
una trasformazione ortogonale seguita da una  
simmetria per un'eventuale traslazione)

Si vorrà in effetti a costruire una misura in  $\mathbb{R}^n$   
detta misura di Lebesgue  $\lambda_n$  che soddisfa a tutte  
queste proprietà. Le  $\sigma$ -algebra  $\mathcal{M}_n$  su cui  $\lambda_n$  è definita:

$$\lambda_n: \mathcal{M}_n \rightarrow [0, +\infty]$$

è detta  $\sigma$ -algebra degli insiemii misurabili (alle Lebesgue) in  $\mathbb{R}^n$ :

una famiglia vastissima di sottoset di  $\mathbb{R}^n$ , che contiene  
ad esempio tutti gli aperti e i chiusi euclidiani di  $\mathbb{R}^n$ .

Tanto vasta al p.u. che scoprire un sottoset di  $\mathbb{R}^n$  non

misurabile è insieme estremamente grande (vedi INSIEME DI VITALI sulle dispense).

Come si ottiene, in poche parole, la misura di Lebesgue  $\lambda_n$  su  $\mathbb{R}^n$ ?

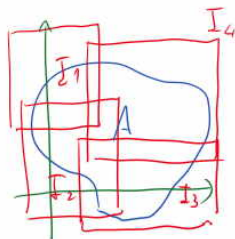
Sintesi contiene una misura ESTERNA  $\lambda_n^*$  per ogni sottosistema di  $\mathbb{R}^n$ .

Il punto per definire  $\lambda_n^*$  d'adattarsi per i plurintervalli: (maggiori  
degredi)

$$\lambda_n^*([a_1, b_1] \times \dots \times [a_n, b_n]) = (b_1 - a_1) \dots (b_n - a_n) \quad (\text{come auspici})$$

Poi, dato un qualsiasi sottoinsieme  $A \subseteq \mathbb{R}^n$ , definisce

$$\lambda_n^*(A) := \inf \left\{ \sum_{k=1}^{+\infty} \lambda_n^*(I_k) : \begin{array}{l} \{I_k\}_{k \in \mathbb{N}} \text{ famiglia numerabile di} \\ \text{pluriintervalli di } \mathbb{R}^n \\ \text{le cui unioni entri in } A \end{array} \right\}$$



(le eventuali sovrapposizioni non preoccupano,  
tanti poi prende l'inf!)

Questa forma di misura soddisfa gran parte delle richieste  
a priori (ad es:  $\lambda_n^*(\emptyset) = 0$  perché  $\emptyset$  è coperto da un plurintervalllo degenero!)  
ma purtroppo manca ancora in generalità l'additività numerabile,  
però funge solo per la subadditività:

$$\text{se } (A_n)_n \in \mathcal{B}(X) \text{ a due a due disgiunti, } \lambda_n^*(\bigcup A_n) \leq \sum \lambda_n^*(A_n).$$

Allora quello che si fa è restituire  $\lambda_n^*$  ai suoi sottosistemi di  $\mathbb{R}^n$   
che garantiscono l'additività:

$$\mathcal{M}_n := \{A \subseteq \mathbb{R}^n : \lambda_n^*(E) = \lambda_n^*(E \cap A) + \lambda_n^*(E \setminus A) \quad \forall E \subseteq \mathbb{R}^n\}$$

Terme (CARATTERISTICO)  $\mathcal{M}_n$  è una  $\sigma$ -algebra (detta dei sottosistemi)  
ALI (LEBESGUE) DI  $\mathbb{R}^n$  contiene tutti i plurintervalli, tutti  
i sottosistemi di misura esterna nulla (tra cui quelli finiti  
o numerabili) e in generale tutti gli aperti e i chiusi euclidiani.

In effetti, come detto, tranne sottosistemi di  $\mathbb{R}^n$  non misurabili c'è  
impresa assai pochissima (vedi l'insieme di Vitali in  $\mathbb{R}$ ).

In effetti, come detto, tra le nazioni di  $\mathbb{R}^n$  non misurabili c'è  
impresa assai anche (vedi l'insieme di Vitali in  $\mathbb{R}$ ).

### INSIEME DI VITALI $V \subseteq I = [0, 1]$

In  $I$ :  $x \sim y \Leftrightarrow x - y \in \mathbb{Q}$  i relazioni d'egualità

$V$ : insieme formato scegliendo un elemento per ogni classe d'egualità  
(si usa l'assiomma della scelta)

ovvero:  $\begin{cases} V \text{ è formato da elementi di } I \text{ a distanza irrazionale} \\ \forall x \in I \exists ! y \in V : x - y \in \mathbb{Q} \end{cases}$

Se  $V$  fosse misurabile  $\Rightarrow$   $d(V)$  misurabile  $\forall \alpha \in \mathbb{R}$ ,  $\lambda_1(\alpha + V) = \lambda_1(V)$

sia  $q: \mathbb{N} \xrightarrow{\sim} \mathbb{Q} \cap [0, 1]$  bijezione, e sia  $W = \bigcup_{n \in \mathbb{N}} (q_n + V)$

(a)  $W$  è unione numerabile di insiemi disgiunti

$$(q_n + V) \cap (q_k + V) = \emptyset \Leftrightarrow q_n + v = q_k + v \Leftrightarrow q_n - q_k = v \in \mathbb{Q} \quad \text{ASSURDO} \quad \mathbb{Q} \subset [0, 1]$$

(b)  $W$  è misurabile (unione numerabile di misurabili)

(c)  $[0, 1] \subset W \subset [0, 2]$

- $\forall x \in I \exists ! y \in V \text{ s.t. } x - y \in \mathbb{Q}$ : si m.t.c.  $x - y = q_n$
- $W$  è fatto di forme  $s + t$  con  $s \in [0, 1]$  e  $t \in [0, 1]$
- $W \subseteq [0, 2]$

Dunque:

$$(a) + (b) \Rightarrow \lambda_1(W) = \sum_{n \in \mathbb{N}} \lambda_1(q_n + V) = \sum_{n \in \mathbb{N}} \lambda_1(V).$$

Se  $\lambda_1(V) = 0 \Rightarrow \lambda_1(W) = 0$  ASSURDO:  $[0, 1] \subset W$ , DUNQUE  $\lambda_1(W) \geq 1$   
(PER ISOTONIA)

Se  $\lambda_1(V) > 0 \Rightarrow \lambda_1(W) = +\infty$  ASSURDO:  $W \subseteq [0, 2]$  DUNQUE  $\lambda_1(W) \leq 3$

Perfatto  $\lambda_1(V)$  NON PUÒ ESSERE!  $V$  NON È MISURABILE.

Tra gli insiemi misurabili vi ha quelli da misura nulla, detti  
INSIEMI TRASURABILI di  $\mathbb{R}^n$ .

Una proprietà  $P(x)$  dei punti  $x$  di un  $E \subseteq \mathbb{R}^m$  che è vera su tutti  
gli  $x \in E$  tranne un insieme trascurabile si dice che vale quasi ovunque in  $E$ .

Ex. La funzione di Dirichlet è nulla q.o. (ma non continua q.o., visto che l'insieme dei suoi discontinui è  $[0, 1]$  che ha misura 1).

Prop. (a) un'unione numerabile di insiemi trascurabili è trascurabile.  
(in particolare, infatti se un insieme può essere trascurabile, lo sono  
anche tutti gli insiemi finiti o numerabili di  $\mathbb{R}^n$ ).

(b) Un insieme di un trascurabile è trascurabile.

(c) Le sottovarie proprie di  $\mathbb{R}^n$  (di dim  $\leq n-1$ ) sono trascurabili in  $\mathbb{R}^n$ .

Pensate tutti i punti e i numeri di  $\mathbb{R}^n$  sono trascurabili.

È il vicino? Se  $n \geq 2$  ovviamente no (es: una curva in  $\mathbb{R}^2$ ).

Ma se  $n=1$ ? Nemmeno (INSIENE DI CANTOR, vedi dopo).

### INSIENE DI CANTOR

$$C \subseteq [0,1]$$

$$C_0 = \boxed{[0,1]}$$

$$C_1 = \boxed{[0, \frac{1}{3}, \frac{2}{3}, 1]}$$

$$C_2 = \boxed{\frac{1}{9}, \frac{2}{9}, \frac{1}{3}, \frac{4}{9}, \frac{5}{9}, \frac{2}{3}, \frac{7}{9}, \frac{8}{9}, 1}$$

e così via. Si pone poi  $C = \bigcap_{n \in \mathbb{N}} C_n$

•  $C$  è misurabile (insiemi numerati di misurabili)

•  $C$  è trascurabile ( $C_n$  ricopre  $C$ , fatti di  $2^n$  intervalli lunghi  $\frac{1}{3^n}$ , dunque  $\lambda_1(C_n) = \left(\frac{2}{3}\right)^n \Rightarrow \lambda_1(C) \leq \left(\frac{2}{3}\right)^n \forall n$   
 $\Rightarrow \lambda_1(C) = 0$ .)

•  $C$  ha la cardinalità del continuo, (anche idempotente a  $[0,1]$ ).

Espressione in base 3 dei numeri in  $[0,1]$ :  $\sum_{m \geq 1} \frac{a_m}{3^m}$  con  $a_m \in \{0,1,2\}$ , che scriviamo anche  $0.a_1a_2a_3\dots(3)$ .

$C_1$ : si scrivono  $0,1***\dots(3)$  ove \*\*\*... sono in  $\{0,1,2\}$  ma non 222...

$C_2$ : si scrivono  $0,01***\dots(3)$  e  $0,21***\dots(3)$  etc.

Dunque i numeri di  $C$  sono quelli del tipo  $0,a_1a_2a_3\dots(3)$  con  $a_j \in \{0,2\}$

$$\Rightarrow C \simeq \{0,2\}^{\mathbb{N}} \simeq \{0,1\}^{\mathbb{N}} \underset{\text{BINARIO}}{\simeq} [0,1]$$